



مقاله علمی-پژوهشی

نشانه‌های مورفولوژیکی ابزاری برای بررسی تنوع ژنتیکی برخی ژنوتیپ‌های لایم (*Citrus aurantifolia*)

شاهین جهانگیرزاده خیای^{۱*} - بهروز گل‌عین^۲

تاریخ دریافت: ۱۳۹۹/۰۱/۲۷

تاریخ پذیرش: ۱۳۹۹/۰۷/۱۲

چکیده

مطالعه تنوع ژنتیکی ژرمپلاسم‌های هر گیاهی باعث بهبود برنامه‌ریزی‌های اصلاحی می‌شود. مرکبات نیز به دلیل آنکه یکی از مهم‌ترین محصولات کشاورزی است از این قاعده مستثنا نیستند. بسیاری از لیموهای مناطق جنوبی بر اساس شکل ظاهری و حدس نام‌گذاری شده‌اند که می‌توان با کاربرد نشانه‌های ریختی و مقایسه آنها با ارقام و گونه‌های شناخته‌شده روابط ژنتیکی و شجره‌نامه آنها را مشخص نمود. بررسی حاضر جهت مطالعه تنوع و روابط ژنتیکی ژنوتیپ‌های لیمو توسط نشانه‌های مورفولوژیکی صورت گرفت. چهل و یک صفت کمی و کیفی در ۲۳ ژنوتیپ مختلف لیمو از سه منطقه جغرافیایی و هفت رقم شناخته‌شده مرکبات به‌عنوان شاهد بر اساس توصیف نام معرفی شده برای مرکبات بررسی شد. تجزیه خوشه‌ای توسط نرم‌افزار Ntsys و تجزیه به مؤلفه‌های اصلی توسط نرم‌افزار Past انجام شد. بر اساس ماتریس تشابه محاسبه‌شده دامنه تشابه مابین ژنوتیپ‌ها از ۰/۱۴۱ الی ۰/۶۸۳ با متوسط ۰/۳۸۸ بود که دلالت بر وجود تنوع بالا بین ژنوتیپ‌های مورد بررسی دارد. بر اساس نمودار خوشه‌ای حاصل ژنوتیپ‌ها در سطح تشابه ۰/۳۲ در چهار گروه قرار گرفتند. در تجزیه کلاستر سلطان مرکبات (*Citrus grandis*) و بالنگ (*C. medica*) به همراه پرتقال (*C. sinensis*) به‌عنوان یکی از اجداد اولیه مرکبات از سایر نمونه‌ها گروه مجزایی تشکیل دادند. گروه چهارم که بزرگ‌ترین گروه تشکیل شده بود تمام رقم‌های لیمو شاهد را در بر داشت که نشان از ارتباط آنها با یکدیگر بود. بر اساس آزمون تجزیه به مؤلفه‌های اصلی مشخص گردید که ده مؤلفه اول ۸۰/۵۲ درصد از تغییرات را در بر گرفتند. بر اساس آزمون تجزیه به مؤلفه‌های اصلی مشخص می‌گردد تا مؤلفه دهم ۲۶ صفت از ۴۱ صفت مورد بررسی نقش معنی‌داری در ایجاد تفاوت‌ها دارند. به‌طور کلی با توجه به مجموع نتایج مشخص شد ویژگی‌های مورفولوژیکی می‌توانند بین لیموها و دیگر نمونه‌های مرکبات تفاوت قائل شده و آنها را تشخیص دهند.

واژه‌های کلیدی: توصیف نام، روابط فیلوژنتیکی، شاخص‌های مورفولوژی، مرکبات

مقدمه

کرد که مرکبات در محدوده هندوستان تا شمال آفریقا گسترش داشته است (۳۴). لیموها (*Citrus aurantifolia* و *C. lemon*) دسته بزرگ و متنوعی در درون گروه بزرگ مرکبات می‌باشند. منشأ لایم‌ها بر اساس گزارش‌ها سوینگل جزایر هند شرقی است که از آنجا به اروپا منتقل گردیده‌اند (۶) اما منشأ لیموها با دقت بالایی شناسایی نشده و این احتمال وجود دارد که لیموها به دلیل شباهت بالای آنها، حاصل تلاقی بالنگ و لایم باشند. این موضوع تأیید کننده این نظریه است که بالنگ و لایم جزو مرکبات اولیه هستند (۱۰). تمام گیاهانی که جزو مرکبات‌اند به‌صورت درخت با ضخامت پوست کمتر از ۵ میلی‌متر است. برگ‌ها معمولاً ساده با شکل تخم‌مرغی تا نیزه‌ای همراه با دم‌برگ که در اندازه‌های و شکل مختلف است (در میان گونه‌های متفاوت). میوه عموماً هسپریدیم^۳ خوانده می‌شود که از قاچ‌های که توسط کیسه‌های ترش‌چی پر شده، تشکیل گشته است که بذرها در

تیره مرکبات (Rutaceae) یکی از بزرگ‌ترین خانواده‌های گیاهی مناطق گرمسیری و نیمه گرمسیری به‌شمار می‌رود. مرکبات دربرگیرنده دسته بزرگی از میوه‌ها است که از نظر تولید و مصرف مهم‌ترین آن‌ها شامل پرتقال (*Citrus sinensis*)، نارنگی (*C. reticulate*)، لایم (*C. aurantifolia*)، لیمون (*C. lemon*)، گریپ‌فروت (*C. maxima*)، نارنج (*C. aurantium*)، بالنگ (*C. medica*) و... می‌باشند (۲۸). نظریه‌های متفاوتی در مورد منشأ مرکبات بیان شده است که بر اساس روابط فیلوژنتیک می‌توان بیان

۱- استادیار، پژوهشکده چای، مؤسسه تحقیقات علوم باغبانی، سازمان تحقیقات، آموزش و ترویج کشاورزی، لاهیجان، ایران

(*- نویسنده مسئول: Email: shjahangirzadeh@gmail.com)

۲- دانشیار، پژوهشکده مرکبات و میوه‌های نیمه گرمسیری، مؤسسه تحقیقات علوم باغبانی، سازمان تحقیقات، آموزش و ترویج کشاورزی، رامسر، ایران

DOI: 10.22067/jhorts4.v34i4.85292

قسمت مرکزی این قاچ‌ها قرار دارند. قاچ‌ها توسط پوشش عموماً سفید اندوکارپ^۱ و سپس قشر خارجی^۲ که غدد روغنی زیاد دارد، احاطه شده‌اند. رنگ قسمت گوشتی و لایه خارجی بسیار متنوع است (از سبز تا زرد، نارنجی و قرمز) (۲۸).

تاکنون مطالعات زیادی در زمینه بررسی تفاوت‌های ژنتیکی گیاهان زیرمجموعه مرکبات با کاربرد نشانگرهای گوناگون صورت گرفته است. صفات مورفولوژیکی اولین و اساسی‌ترین مرحله در توصیف و طبقه‌بندی ژرم‌پلاسم هستند، و به‌عنوان اصول اصلی در اصلاح گیاهان (انتخاب و بررسی صفات موردعلاقه) به کار گرفته می‌شوند به‌گونه‌ای که این صفات ممکن است در یک رقم جدید جمع شوند (۸ و ۳۳). در گذشته به دلیل وجود توارث پذیری بالا ویژگی‌های مورفولوژی جهت شناسایی و تشخیص جنس‌های *Citrus* بکار برده می‌شده‌اند. یافتن روابط متقابل بین ویژگی‌های مورفولوژیکی ممکن است در گزینش شاخص‌های انتخاب قابل‌استفاده باشد و با استفاده از برخی خصوصیات ساده بتوان شاخص‌های پیچیده را گزینش و انتخاب نمود (۱۵). تفاوت در برخی از ویژگی‌های میوه ممکن است به دلیل تکثیر بذری، اختلاف در آب‌وهوا و نحوه‌افشانی باشد (۳۵). مرکبات به دلیل برخی خصوصیات خاص از قبیل سازگاری جنسی آنها با جنس‌های مرتبط و همچنین سازگاری بین‌گونه‌ای از لحاظ گوناگونی، تنوع قابل‌توجهی دارند (۵). علاوه بر این، از آنجاکه تفاوت گونه‌های مختلف لایم اسپرماتوفیتیک است و سابقه طولانی از نظر کشت دارند لذا ژنوتیپ‌های متفاوتی در مناطق جنوبی ایران مشاهده می‌گردد (۲۶).

امروزه از نشانگرهای ژنتیکی جهت حفاظت و مدیریت و همچنین شناسایی بهتر و مناسب‌تر ژرم‌پلاسم‌های باغبانی استفاده می‌گردد (۱۶). نشانگرهای مورفولوژی که دسته بزرگی از نشانگرها می‌باشند نیز در دسته نشانگرهای ژنتیکی قرار دارند (۲۳). مالیک و همکارانش در سال ۲۰۱۲ (۲۲) در بررسی تفاوت‌های ژنتیکی ارقام پرتقال و مولکولی RAPD استفاده نمودند. شاهین-چویک و آموروری در سال ۲۰۱۲ (۲۹) نیز از نشانگرهای مورفولوژی برای بررسی صفات کمی (QTL) جنس *Citrus* استفاده کردند. با کاربرد نشانگرهای مورفولوژی و مولکولی شناسایی و روابط ژنتیکی ماندارین‌ها (*Citrus reticulata* Blanco) توسط پال و همکاران (۲۵)، کامپوس و همکاران (۴) و کئوهلر-سانتوس و همکاران (۲۰) در سه منطقه متفاوت بررسی شدند. دورچی و یاپ‌واتادافیوم (۷) در بررسی اکسیشن‌های نارنگی (*Citrus reticulata* Blanco) با استفاده از ویژگی‌های مورفولوژی نتیجه‌گیری نمودند که داده‌های حاصل از

بررسی طول و عرض برگ؛ عرض، طول و قطر میوه؛ ضخامت اپی‌کارپ و تعداد بذر در میوه نسبت به ویژگی‌های گل جهت بررسی مناسب‌تر هستند. برای بررسی تنوع ژنتیکی درختان مرکباتی که تحت عنوان لایم شناخته می‌گردند نیز تحقیقات وسیعی انجام شده است (۱۷، ۱۹، ۲۶ و ۳۵)، خیاوی و همکاران (۱۹) که بر روی ۲۹ نمونه مناطق میناب، منوجان، داراب، شمال و نمونه‌های استاندارد تحت عنوان لایم مطالعاتی داشته دارای ۷ ژنوتیپ مشترک (حدود ۲۳٪) با مطالعه حاضر بود یکی از جامع‌ترین مطالعات صورت گرفته بر روی نمونه‌های مناطق کشت لایم در جنوب است.

از نشانگرهای مورفولوژیکی همچنین در بررسی گیاهان متعددی مانند هلو برای تهیه نقشه لینکاژی در ترکیب با نشانگرهای دیگر (RAPD و RFLP) (۲۷)، در کیوی برای بررسی و شناسایی ژرم پلاسم (۹) در بادام به جهت ارزیابی تنوع ژنتیکی (۳۰) استفاده شده است.

در این مطالعه برخی ژنوتیپ‌های لایم و لمون در جنوب ایران را از نظر صفات مورفولوژیکی بررسی شد تا به اطلاعات موجود از آنها اضافه کرده و بتوان از آنها در برنامه‌های بهنژادی استفاده مناسب‌تری نمود.

مواد و روش‌ها

مواد گیاهی

تعداد ده درخت از منطقه میناب به‌عنوان نوار جنوبی مرکبات کاری که محصول عمده آن مناطق لیمو است از کلکسیون ایستگاه تحقیقاتی آن شهرستان انتخاب گردید که در انتخاب نمونه‌ها باز هم سعی بر این بود که نمونه‌هایی انتخاب گردند که کل منطقه را پوشش دهند. شش درخت از منطقه منوجان به‌عنوان حفاصل مابین نوار جنوبی مرکبات کاری و منطقه مرکزی مرکبات کاری انتخاب گردیدند. جهت آنکه منطقه مرکزی مرکبات کاری ایران نیز به‌طور بیشتری تحت پوشش قرار گیرد نیز تعداد هفت درخت از منطقه داراب به‌عنوان منطقه‌ای در غرب ناحیه مرکبات کاری مرکزی برگزیده شدند. هفت نمونه از ارقام تجاری شامل مکزیکن لایم، لیمو لیسبون، بالنگ، سلطان مرکبات (پوملو)، پرتقال سیاورز، راف‌لمون و پرشین لایم به‌عنوان شاهد در نظر گرفته شدند که این نمونه‌ها از پژوهشکده مرکبات و میوه‌های نیمه گرمسیر در رامسر تهیه گشتند. دلیل این گستردگی نمونه‌های شاهد کمک به افزایش دقت بررسی تنوع و تعیین مسیر تکاملی و فیلوژنتیک بود. نکته لازم به ذکر این است که تمام درختان در مرحله بلوغ بودند. این پروژه در دو سال متوالی (۱۳۹۱ و ۱۳۹۲) انجام شد. جدول ۱ اسامی نمونه‌های مورد بررسی و شکل ۱ مناطقی که نمونه‌های تحت پوشش قرار دادند را بیان می‌نماید.

جدول ۱- نمونه‌های لیمو اسیدی بکار رفته در بررسی مورفولوژی
Table 1- Acid lime samples used in morphological analysis

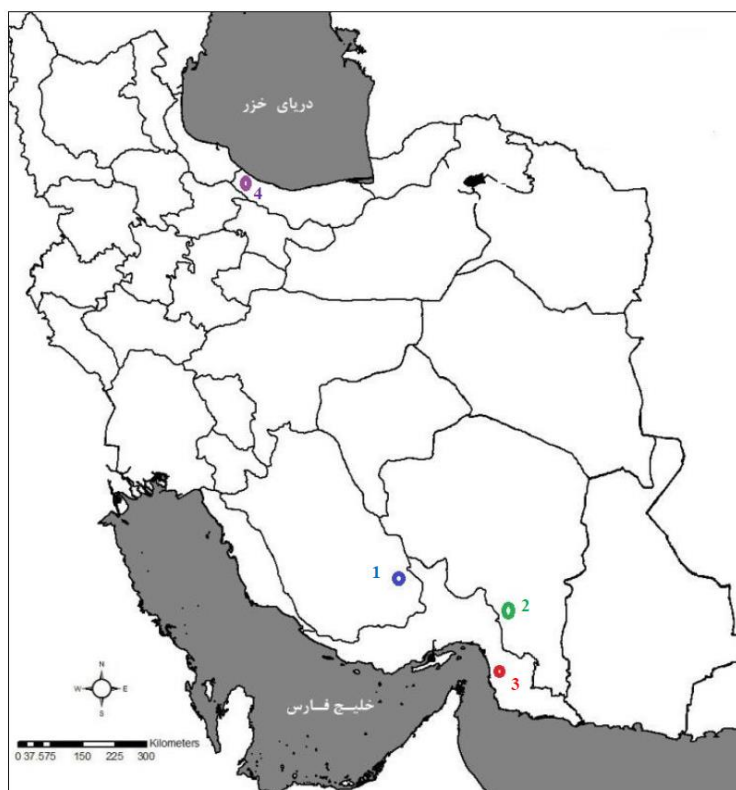
| کد نمونه Plant code* | نام محلی Local name | محل جمع‌آوری Location | نام علمی Scientific name | کد نمونه Plant code* | نام محلی Local name | محل جمع‌آوری Location | نام علمی Scientific name |
|----------------------------|----------------------------------|--------------------------|--------------------------------|----------------------------|--|--------------------------|--------------------------------|
| D1 | لیمو فری Feri lime | داراب Drab | <i>Citrus</i> sp. | M1-13 | ناشناس Unknown | میناب Minab | <i>Citrus</i> sp. |
| D2 | لیمو بکرایبی Bakrai lime | داراب Drab | <i>Citrus</i> sp. | M1-14 | ناشناس Unknown | میناب Minab | <i>Citrus</i> sp. |
| D3 | ناشناس Unknown | داراب Drab | <i>Citrus</i> sp. | M2-2 | ناشناس Unknown | رودان Rudan | <i>Citrus</i> sp. |
| D4 | ناشناس Unknown | داراب Drab | <i>Citrus</i> sp. | M2-8 | ناشناس Unknown | رودان Rudan | <i>Citrus</i> sp. |
| D5 | لیمو چهارفصل Four season lime | داراب Drab | <i>Citrus</i> sp. | M2-10 | ناشناس Unknown | رودان Rudan | <i>Citrus</i> sp. |
| D6 | لیمو سنگی Rock lemon | داراب Drab | <i>Citrus</i> sp. | M4-2 | ناشناس Unknown | سندرک Senderk | <i>Citrus</i> sp. |
| D7 | لیمو خیارلی Cucumber lime | داراب Drab | <i>Citrus</i> sp. | M5-1 | ناشناس Unknown | جغین Jaghin | <i>Citrus</i> sp. |
| MA5 | منوجان ۵ Manojan 5 | منوجان Manojan | <i>Citrus</i> sp. | M5-2 | ناشناس Unknown | جغین Jaghin | <i>Citrus</i> sp. |
| MA6 | منوجان ۶ Manojan 6 | منوجان Manojan | <i>Citrus</i> sp. | S1 | مکزیکن لایم Mexican lime | رامسر Ramsar | <i>Citrus aurantiifolia</i> |
| MA7 | منوجان ۷ Manojan 7 | منوجان Manojan | <i>Citrus</i> sp. | S2 | لیمو لیسبون Lisbon lemon | رامسر Ramsar | <i>Citrus × limon</i> |
| MA8 | منوجان ۸ Manojan 8 | منوجان Manojan | <i>Citrus</i> sp. | S3 | پرتقال سیاورزی Siavaraz sweet orange | رامسر Ramsar | <i>C. sinensis</i> |
| MA9 | منوجان ۹ Manojan 9 | منوجان Manojan | <i>Citrus</i> sp. | S5 | راف لمون Rough lemon | رامسر Ramsar | <i>Citrus jambhiri</i> |
| MA10 | منوجان ۱۰ Manojan 10 | منوجان Manojan | <i>Citrus</i> sp. | S6 | سلطان مرکبات Pummelo | رامسر Ramsar | <i>C. grandis</i> |
| M1-1 | رودان لایم Rudan lime | میناب Minab | <i>Citrus</i> sp. | S7 | پرشین لایم Persian lime | رامسر Ramsar | <i>Citrus × latifolia</i> |
| M1-10 | ناشناس Unknown | میناب Minab | <i>Citrus</i> sp. | S10 | بالنگ Citron | رامسر Ramsar | <i>C. medica</i> |

کد نمونه‌ها: D: نمونه‌های جمع‌آوری شده از منطقه داراب، MA: نمونه‌های جمع‌آوری شده از منطقه منوجان، M: نمونه‌های جمع‌آوری شده از منطقه میناب، S: نمونه‌های شاهد (از منطقه رامسر)

آنالیز مورفولوژی

پذیرفت (۱۳). برای آنکه اثر محیط در بررسی کم گردد عمل نمونه‌گیری در دو سال متفاوت با سه تکرار انجام شد. جدول ۲ صفات بررسی شده را نشان می‌دهد.

برای بررسی مورفولوژی و خصوصیات ظاهری درختان در کل ۴۱ صفت کمی و کیفی (۹ صفت کمی و ۳۲ صفت کیفی) در رابطه با هر درخت، ده برگ، پنج میوه و بذر داخل پنج میوه مورد بررسی قرار گرفت. انتخاب صفات مورد بررسی بر اساس توصیف نامه توصیه شده توسط موسسه بین‌المللی بررسی ژنتیک گیاهان^۱ صورت



شکل ۱- مناطق جمع‌آوری نمونه‌های ژنوتیپ‌های لایم (*Citrus aurantifolia*) مورد بررسی: شماره ۱ داراب (۲۸,۷۵N, ۵۴,۵۳E)، شماره ۲ منوجان (۲۷,۴۰N, ۵۷,۴۹E)، شماره ۳ میناب (۲۷,۱۴N, ۵۷,۰۷E) و شماره ۴ رامسر (۳۶,۹۲N, ۵۰,۶۴E).

Figure 1- Collection sites of the studied samples of lime genotypes (*Citrus aurantifolia*) (1= Darab (54.53E, 28.75N), 2= Manojan (57.49E, 27.40N), 3= Minab (57.07E, 27.14N) and 4= Ramsar (50.64E, 36.92N)

مورفولوژی مشابه یکدیگر بودند، اگرچه برخی از آنها تفاوت‌های کوچک و کمی در ویژگی‌هایی مانند شکل درخت، زاویه شاخه، شکل نوک برگ و حاشیه پهنک، طول دم‌برگ، شکل پهنک، اندازه (طول و عرض) پهنک‌برگ و شکل بذر نشان دادند. تفاوت در برخی ویژگی‌های مورد بررسی احتمالاً به تکثیر بذری، آب‌وهوای متفاوت و نحوه گرده‌افشانی بازمی‌گردد (۳۵).

جهت مشخص نمودن بهترین ضریب برای محاسبه ماتریس تشابه دوبه‌دو و تجزیه کلاستر ضریب کوفنتیک برای سه ضریب دایس، جاکارد و تشابه ساده محاسبه گردید و بالاترین میزان ضریب کوفنتیک با میزان ۰/۷۹ متعلق به ضریب تشابه ساده و الگوریتم UPGMA بود. این ضریب نشان می‌دهد چه میزان از اطلاعات ماتریس تشابه محاسبه‌شده به کلاستر طراحی‌شده منتقل شده‌اند. بر این اساس، ضریب تشابه ساده برای محاسبه ماتریس تشابه و الگوریتم UPGMA برای طراحی کلاستر مورد استفاده قرار گرفتند. بالاتر بودن میزان ضریب کوفنتیک دلالت بر رابطه بیشتر ماتریس تشابه محاسبه‌شده و کلاستر طراحی‌شده است (۲۴).

جهت بررسی داده‌ها از روش به‌کاربرده توسط خیاوی و همکاران (۱۹) استفاده شد. بنابراین داده‌های حاصل جهت بررسی ابتدا توسط نرم‌افزار Ntsys و ضریب YBAR استاندارد سازی شده و سپس توسط همین نرم‌افزار ماتریس تشابه بر اساس ضریب تشابه ساده^۱ محاسبه گردید. جهت طراحی کلاستر بر اساس ماتریس تشابه از الگوریتم UPGMA در نرم‌افزار NTSYS-pc, v. 2.02 استفاده شد. تجزیه به مؤلفه‌های اصلی^۲ برای گروه‌بندی نمونه‌ها صورت گرفت و تجزیه بای‌پلات توسط نرم‌افزار Past-pc, v. 4.03 صورت گرفت.

نتایج و بحث

شناسایی نمونه‌ها بر اساس توصیف نامه IPGRI برای مورفولوژی برگ و میوه نمونه‌های لیموی چهار استان عمده کاشت مرکبات ایران صورت گرفت. تمام نمونه‌های لیمو گزینش شده از نظر

1- Simple Matching Coefficient
2- Principal component analysis (PCA)

جدول ۲- صفات مورفولوژیکی مورد بررسی برخی ژنوتیپ‌های لایم (*Citrus aurantifolia*)

Table 2- Investigated morphological characters of lime genotypes (*Citrus aurantifolia*)

| ردیف Row | صفات Characteristics | ردیف Row | صفات Characteristics | ردیف Row | صفات Characteristics |
|-------------|--|-------------|--|-------------|---|
| 1 | عادت رشدی درخت Tree growth habit | 15 | پهنای گوشوارک Petiole wing width | 29 | رنگ میانبر (آلبیدو) Albedo colour |
| 2 | زاویه شاخه Branch angle | 16 | شکل گوشوارک Petiole wing shape | 30 | انتهای نزدیک به خامه میوه Fruit styler end |
| 3 | شکل درخت بالغ Tree shape | 17 | شکل میوه Fruit shape | 31 | تعداد پره در هر میوه Number of segments per fruit |
| 4 | رنگ نوک شاخه Shoot tip color | 18 | شکل قاعده میوه Shape of fruit base | 32 | چسبیدگی دیواره پره‌ها به یکدیگر Adherence of segment walls to each other |
| 5 | تراکم تیغ در درخت بالغ Spine density on adult tree | 19 | شکل سر میوه Shape of fruit apex | 33 | ضخامت دیواره پره‌ها Thickness of segment walls |
| 6 | شکل تیغ Spine shape | 20 | رنگ پوست (اپیکارپ) میوه Fruit skin (epicarp) colour | 34 | محور میوه Fruit axis |
| 7 | شکل پهنک Leaf lamina shape | 21 | ضخامت پوست در استوای میوه Width of epicarp at equatorial area | 35 | رنگ گوشت (پالپ) Pulp (flesh) colour |
| 8 | حاشیه پهنک leaf lamina margin | 22 | وزن میوه Fruit weight | 36 | بافت گوشت Pulp firmness |
| 9 | نوک برگ leaf apex | 23 | طول میوه Fruit length | 37 | طول کیسه‌های ترش‌چی Vesicle length |
| 10 | طول پهنک Leaf lamina length | 24 | قطر میوه Fruit diameter | 38 | متوسط تعداد بذر در هر میوه Average number of seeds per fruit |
| 11 | عرض پهنک Leaf lamina width | 25 | نسبت طول به قطر میوه Ratio fruit length/ diameter | 39 | شکل بذر Seed shape |
| 12 | نسبت طول به عرض پهنک Ratio leaf lamina length/width | 26 | بافت سطح پوست میوه Fruit surface texture | 40 | سطح بذر Seed surface |
| 13 | طول دم‌برگ Petiole length | 27 | چسبندگی آلبیدو (مزوکارپ) به گوشت (اندوکارپ) Adherence of albedo (mesocarp) to pulp (endocarp) | 41 | رنگ بذر Seed colour |
| 14 | وضعیت گوشوارک Petiole condition | 28 | وضوح غدد ترش‌چی Nature (conspicuousness) of oil glands | | |

۱۹)، بنابراین جدا شدن سلطان مرکبات غیرطبیعی نبود. در بررسی مورفولوژی مرکبات، محدوده تنوع ژنتیکی محاسبه شده توسط شاخص‌های مورفولوژیکی عموماً در محدوده‌ای که در بررسی حاضر محاسبه گشته است. کوئهلر-سانتوس و همکاران (۲۰) در بررسی تنوع ژنتیکی نارنگی‌های برزیل، متوسط شباهت ۰/۶ را توسط ویژگی‌های مورفولوژیکی محاسبه نمودند. همچنین کومار و همکاران (۲۱) در نارنگی حداکثر و حداقل شباهت محاسبه شده توسط ویژگی‌های مورفولوژیکی را به ترتیب ۰/۴۵ و ۰/۱۷ مشاهده کردند. پال و همکاران (۲۵) نیز در بررسی نارنگی با استفاده از ۳۳ شاخص مورفولوژی دامنه شباهت را مابین ۰/۱۵ الی ۰/۷۳ با متوسط ۰/۴۴ به

بررسی ماتریس تشابه بر اساس ضریب تشابه ساده^۱ (SM) (جدول ۳) برای داده‌های مورفولوژیکی بیان داشت که مابین نمونه‌ها در دامنه ۰/۱۴۱ الی ۰/۶۸۳ شباهت وجود دارد. متوسط میزان تشابه نیز ۰/۳۸۸ به دست آمد. بر اساس نتایج ۶۲/۱۵ در صد مقایسه‌ها کمتر از میانگین و ۳۷/۸۵٪ بالای میانگین بودند. حداکثر میزان تشابه به دو نمونه مکزیکن لایم و پرشین لایم تعلق داشت و حداکثر میزان تفاوت نیز مابین نمونه‌های MA6 با S6، M2-8 با S1، MA8 با S1 و M1-13 با S6 و S10 مشاهده شد. در مطالعات گذشته نیز سلطان مرکبات (S6) از سایر نمونه‌ها فاصله گرفته و جدا شده بود (۳، ۱۷ و

1- simple matching coefficient

دست آورند. کامپوس و همکاران (۴) نیز به وسیله نشانگرهای مورفولوژیکی به بررسی تنوع ژنتیکی نارنگی‌ها اقدام نمودند و با ۲۰ ویژگی کمی و ۱۰ صفت کیفی ضریب تشابه بین ۰/۱۵ الی ۰/۷۳ را گزارش کردند. با توجه به آنکه این دو مطالعه پال و همکاران (۲۵) و کامپوس و همکاران (۴) در داخل یک‌گونه صورت گرفته و با توجه به اینکه اکثر نمونه‌های ما نیز ویژگی مشابه مکزیکن لایم را نشان می‌دادند، می‌توان نتیجه گرفت که دامنه تفاوت محاسبه‌شده در بررسی ما نیز طبیعی است که این دامنه به دست آمده دامنه‌ای زیاد و گسترده است. خیایوی و همکاران (۱۹) نیز در بررسی تنوع مورفولوژیک لایم‌های سه منطقه عمده کشت این گیاه دامنه تشابهی در محدوده ۰/۱۹ الی ۰/۸۸ با متوسط ۰/۴ گزارش نموده‌اند.

در بررسی حاضر میانگین شاخص‌های برگ شامل طول برگ، عرض برگ و طول دمبرگ به ترتیب برابر ۷۹/۵۱، ۷۴/۲۵ و ۱۷/۴۵ میلی‌متر بود که ۳۳/۳۳ در صد نمونه‌ها طول برگ کمتر از متوسط ۶/۶۷٪ عرض برگ کمتر از متوسط و ۱۰٪ نیز طول دمبرگ کمتر از متوسط داشتند. در رابطه با میوه نیز متوسط ضخامت پوست در استوای میوه ۴/۰۵ میلی‌متر، وزن میوه ۹۹/۹۷ گرم، طول و قطر میوه نیز به ترتیب ۵۸/۰۶ و ۵۱/۵۳ میلی‌متر محاسبه شد که در ۳۰٪ نمونه‌ها ضخامت پوست کمتر از حد متوسط بود. ۲۶/۶۷٪، ۳۳/۳۳٪ و ۳۳/۳۳٪ نمونه‌ها نیز میانگین کمتر از اندازه محاسبه‌شده برای وزن، طول و قطر میوه را نشان دادند.

در رابطه با این ویژگی‌ها، شاخص‌های برگ (عرض و طول پهنک و طول دمبرگ) و میوه (ضخامت پوست در استوا میوه، وزن، طول و قطر میوه) باید خاطر نشان نمود که نمونه‌های S6، M1-14 یا همان سلطان مرکبات و S10 یا همان بالنگ در اکثر ویژگی‌ها بالاتر از حد متوسط بودند. اگر این نمونه‌ها از میانگین حذف و مجدد میانگین گیری شود به دلیل آنکه میزان محاسبه‌شده برای آن فوق‌العاده بالا است، مشاهده می‌شود که اکثر ژنوتیپ‌های لیمو مورد بررسی در ویژگی‌های مطرح‌شده مشابه دو نمونه لایم استاندارد مورد بررسی (مکزیکن لایم و پرشین لایم) می‌باشند.

همانطور که در کلاستر طراحی‌شده (شکل ۲) مشاهده می‌گردد نمونه‌ها در میزان تشابه ۰/۳۲ به چهار گروه اصلی تقسیم گردیدند. گروه اول شامل تنها یک نمونه (S6) یا سلطان مرکبات بود که این موضوع نشان از فاصله زیاد این نمونه از دسته لایم‌ها و لمون‌ها می‌باشد. در مطالعات پیشین نیز این نمونه به‌عنوان اجداد اولیه مرکبات مطرح‌شده بود (۳). در مطالعه خیایوی و همکاران (۱۹) نیز دو نمونه سلطان مرکبات و ژنوتیپ جمع‌آوری‌شده بانام لیمو گلاب آمل نیز در همین محدوده تشابه از سایر نمونه‌های لایم و لمون جدا شده‌اند. جدا شدن سلطان مرکبات از سایر نمونه‌های دیگر مرکبات با استفاده از نشانگرهای مولکولی در مطالعات عابدین پور و همکاران (۱)، العنباری و همکاران (۲) و گولسن و روز (۱۲) مشاهده‌شده بود.

گروه دوم تماماً نمونه‌های منطقه میناب را شامل می‌شد. نکته مهم اولیه که از این گروه‌بندی به دست آمد تفکیک شدن نمونه‌های لیمو منطقه نواری شمال دریای عمان از سایر نمونه‌های لیمو (چه تجاری و چه ژنوتیپ‌های جمع‌آوری‌شده) بود. در مطالعه‌های خیایوی و همکاران (۱۹) و راهب و همکاران (۲۶) که نمونه‌هایی از منطقه میناب را بررسی نموده‌اند مسیر تفکیکی مشابهی را نشان دادند و در مطالعات آنها نیز نمونه‌های منطقه میناب گروه خاص خود را تشکیل داده‌اند. تشکیل یک گروه شاخص برای نمونه‌های میناب می‌تواند به دلیل مسیر تکاملی خاص برای این نمونه‌ها باشد، به طوری که در این منطقه فقط کاشت لیمو رایج بوده و تقریباً هیچ‌گونه مرکبات دیگری وجود ندارد که جریان ژنی را به این منطقه وارد نماید و همچنین تکثیر لیموها در این منطقه از راه بذر است و به دلیل ذکرشده در بالا، حفاظت‌شدگی ژنوتیپ‌ها در این منطقه طبیعی به نظر می‌رسد. گروه سوم نیز تنها دو نمونه پرتقال محلی (S3) و بالنگ (S10) که به‌عنوان شاهد در بررسی قرار داشتند را شامل بود. قرارگیری بالنگ در میانه‌های کلاستر با موضوع جد اولیه بودن این گیاه (۳) برای انواع مرکبات کاملاً همخوانی دارد. از این دو نمونه، رقم پرتقال فاقد رابطه ژنتیکی گزارش‌شده با لیموها (لایم و لمون) است. بالنگ نیز که به‌عنوان یکی از اجداد اولیه لمون‌ها مطرح است (۳) از نظر ویژگی‌های مورفولوژیکی تفاوت‌های بارزی با لمون‌ها دارد، بنابراین جدا شدن این نمونه‌ها منطقی و اصولی است. نتایج گزارش‌شده در بررسی‌های صورت گرفته توسط نشانگرهای مولکولی نیز جدا شدن این نمونه‌ها از لیموها را گزارش کرده‌اند (۲، ۱۱، ۳۱ و ۳۲).

اما در گروه چهارم که شامل ۱۷ نمونه (۵۶/۶۶) در صد کل نمونه‌ها) بود پیچیدگی بیشتری مشاهده می‌شد زیرا که نمونه‌های شاهد لایم و لمون و ناحیه مرکزی مرکبات کاری ایران که خود دو منطقه داراب و منوجان را شامل می‌شد در برداشت. در این گروه در حد تشابه ۲۸٪ ابتدا رقم لیمو لیسبون از سایر نمونه‌ها جدا گشت و در ادامه نمونه‌های منطقه منوجان زیرگروه خاص خود را تشکیل دادند و تنها یک نمونه از این منطقه (MA10) در زیرگروه سوم به همراه نمونه‌های منطقه داراب و سه رقم مکزیکن لایم، پرشین لایم و رافلمون قرار گرفت. این جدا شدن و تشکیل یک زیرگروه خاص برای نمونه‌های منطقه منوجان بر اساس داده‌های مورفولوژیکی می‌تواند نشان از مسیر تکاملی جداگانه‌ای از نمونه‌های هم‌گروه باشد. دلایل مشابه، دلایل ذکرشده برای حفاظت‌شدگی نمونه‌های میناب، برای نمونه‌های این منطقه نیز صادق است. اما از آنجایی که نمونه‌های انتخابی از این منطقه محدود بودند، با قاطعیت نمی‌توان در رابطه با این موضوع که آیا این جمعیت از سایر نمونه‌ها باید جدا گردند یا خیر، اظهار نظر نمود.

جدول ۳- ماتریس تشابه بر اساس داده‌های مورفولوژیکی برخی ژنوتیپ‌های لایم (*Citrus aurantifolia*)
 Table 3- Similarity matrix based on the morphological data of lime genotypes (*Citrus aurantifolia*)

| | D1 | D2 | D3 | D4 | D5 | D6 | D7 | MA5 | MA6 | MA7 | MA8 | MA9 | MA10 | MI-1 | MI-10 | MI-13 | MI-14 | M2-2 | M2-8 | |
|-------|-------|-------|-------|-------|-------|-------|-------|-------|-------|-------|-------|-------|-------|-------|-------|-------|-------|-------|-------|-------|
| D1 | 1.000 | | | | | | | | | | | | | | | | | | | |
| D2 | 0.537 | 1.000 | | | | | | | | | | | | | | | | | | |
| D3 | 0.439 | 0.390 | 1.000 | | | | | | | | | | | | | | | | | |
| D4 | 0.537 | 0.463 | 0.463 | 1.000 | | | | | | | | | | | | | | | | |
| D5 | 0.488 | 0.488 | 0.512 | 0.439 | 1.000 | | | | | | | | | | | | | | | |
| D6 | 0.390 | 0.415 | 0.463 | 0.439 | 0.439 | 1.000 | | | | | | | | | | | | | | |
| D7 | 0.390 | 0.390 | 0.463 | 0.415 | 0.463 | 0.390 | 1.000 | | | | | | | | | | | | | |
| MA5 | 0.341 | 0.341 | 0.341 | 0.390 | 0.317 | 0.415 | 0.341 | 1.000 | | | | | | | | | | | | |
| MA6 | 0.439 | 0.293 | 0.415 | 0.366 | 0.390 | 0.341 | 0.366 | 0.341 | 1.000 | | | | | | | | | | | |
| MA7 | 0.415 | 0.366 | 0.488 | 0.439 | 0.415 | 0.415 | 0.439 | 0.439 | 0.488 | 1.000 | | | | | | | | | | |
| MA8 | 0.341 | 0.293 | 0.366 | 0.366 | 0.415 | 0.268 | 0.415 | 0.488 | 0.415 | 0.512 | 1.000 | | | | | | | | | |
| MA9 | 0.390 | 0.366 | 0.366 | 0.317 | 0.415 | 0.268 | 0.268 | 0.317 | 0.463 | 0.463 | 0.415 | 1.000 | | | | | | | | |
| MA10 | 0.390 | 0.293 | 0.488 | 0.341 | 0.463 | 0.439 | 0.390 | 0.390 | 0.463 | 0.463 | 0.366 | 0.463 | 1.000 | | | | | | | |
| MI-1 | 0.341 | 0.415 | 0.293 | 0.366 | 0.341 | 0.293 | 0.171 | 0.366 | 0.390 | 0.341 | 0.341 | 0.390 | 0.317 | 1.000 | | | | | | |
| MI-10 | 0.317 | 0.341 | 0.317 | 0.390 | 0.366 | 0.268 | 0.220 | 0.390 | 0.415 | 0.268 | 0.366 | 0.341 | 0.317 | 0.561 | 1.000 | | | | | |
| MI-13 | 0.293 | 0.317 | 0.317 | 0.341 | 0.268 | 0.293 | 0.195 | 0.341 | 0.293 | 0.341 | 0.244 | 0.195 | 0.317 | 0.463 | 0.341 | 1.000 | | | | |
| MI-14 | 0.415 | 0.317 | 0.341 | 0.415 | 0.293 | 0.244 | 0.293 | 0.341 | 0.390 | 0.415 | 0.390 | 0.268 | 0.293 | 0.415 | 0.488 | 0.415 | 1.000 | | | |
| M2-2 | 0.366 | 0.293 | 0.415 | 0.366 | 0.390 | 0.317 | 0.317 | 0.366 | 0.317 | 0.390 | 0.317 | 0.268 | 0.366 | 0.488 | 0.512 | 0.439 | 0.439 | 1.000 | | |
| M2-8 | 0.220 | 0.293 | 0.220 | 0.268 | 0.195 | 0.268 | 0.220 | 0.244 | 0.146 | 0.220 | 0.171 | 0.171 | 0.244 | 0.439 | 0.341 | 0.390 | 0.317 | 0.366 | 1.000 | |
| M2-10 | 0.390 | 0.244 | 0.366 | 0.366 | 0.341 | 0.244 | 0.366 | 0.317 | 0.341 | 0.341 | 0.244 | 0.220 | 0.415 | 0.366 | 0.415 | 0.512 | 0.439 | 0.561 | 0.341 | 1.000 |
| M4-2 | 0.390 | 0.366 | 0.463 | 0.390 | 0.439 | 0.293 | 0.293 | 0.390 | 0.293 | 0.415 | 0.415 | 0.366 | 0.366 | 0.463 | 0.512 | 0.439 | 0.390 | 0.561 | 0.293 | 1.000 |
| M5-1 | 0.366 | 0.220 | 0.366 | 0.341 | 0.341 | 0.268 | 0.341 | 0.317 | 0.341 | 0.366 | 0.366 | 0.268 | 0.341 | 0.415 | 0.463 | 0.390 | 0.512 | 0.512 | 0.317 | 1.000 |
| M5-2 | 0.293 | 0.220 | 0.220 | 0.317 | 0.366 | 0.244 | 0.268 | 0.293 | 0.244 | 0.244 | 0.341 | 0.244 | 0.341 | 0.439 | 0.439 | 0.390 | 0.341 | 0.585 | 0.415 | 1.000 |
| S1 | 0.463 | 0.390 | 0.415 | 0.415 | 0.439 | 0.293 | 0.439 | 0.366 | 0.366 | 0.439 | 0.415 | 0.415 | 0.341 | 0.244 | 0.268 | 0.146 | 0.317 | 0.341 | 0.220 | 1.000 |
| S2 | 0.415 | 0.366 | 0.366 | 0.317 | 0.268 | 0.341 | 0.317 | 0.366 | 0.293 | 0.317 | 0.268 | 0.293 | 0.341 | 0.244 | 0.293 | 0.341 | 0.366 | 0.268 | 0.220 | 1.000 |
| S3 | 0.415 | 0.415 | 0.366 | 0.317 | 0.341 | 0.317 | 0.293 | 0.317 | 0.220 | 0.317 | 0.341 | 0.317 | 0.195 | 0.366 | 0.293 | 0.220 | 0.317 | 0.341 | 0.341 | 1.000 |
| S5 | 0.463 | 0.390 | 0.341 | 0.463 | 0.415 | 0.341 | 0.366 | 0.366 | 0.293 | 0.366 | 0.317 | 0.268 | 0.415 | 0.341 | 0.317 | 0.317 | 0.366 | 0.341 | 0.268 | 1.000 |

ادامه جدول ۳- ماتریس تشابه بر اساس داده‌های مورفولوژیکی برخی ژنوتیپ‌های لایم (*Citrus aurantifolia*)
 Continue Table 3- Similarity matrix based on the morphological data of lime genotypes (*Citrus aurantifolia*)

| | D1 | D2 | D3 | D4 | D5 | D6 | D7 | MA5 | MA6 | MA7 | MA8 | MA9 | MA10 | MI-1 | MI-10 | MI-13 | MI-14 | M2-2 | M2-8 | |
|-----|-------|-------|-------|-------|-------|-------|-------|-------|-------|-------|-------|-------|-------|-------|-------|-------|-------|-------|-------|-------|
| S6 | 0.268 | 0.220 | 0.268 | 0.268 | 0.268 | 0.220 | 0.244 | 0.220 | 0.293 | 0.220 | 0.146 | 0.244 | 0.293 | 0.366 | 0.268 | 0.268 | 0.244 | 0.293 | 0.220 | 1.000 |
| S7 | 0.488 | 0.415 | 0.390 | 0.415 | 0.488 | 0.293 | 0.463 | 0.390 | 0.366 | 0.415 | 0.439 | 0.366 | 0.317 | 0.268 | 0.341 | 0.220 | 0.341 | 0.415 | 0.244 | 1.000 |
| S10 | 0.341 | 0.293 | 0.341 | 0.341 | 0.293 | 0.341 | 0.244 | 0.268 | 0.268 | 0.293 | 0.293 | 0.341 | 0.268 | 0.268 | 0.220 | 0.268 | 0.268 | 0.268 | 0.268 | 1.000 |

ادامه جدول ۳- ماتریس تشابه بر اساس داده‌های مورفولوژیکی برخی زئوتیپ‌های لایم (*Citrus aurantifolia*)
 Continue Table 3- Similarity matrix based on the morphological data of lime genotypes (*Citrus aurantifolia*)

| | M2-10 | M4-2 | M5-1 | M5-2 | S1 | S2 | S3 | S5 | S6 | S7 | S10 |
|-------|-------|-------|-------|-------|-------|-------|-------|-------|-------|-------|-------|
| M2-10 | 1.000 | | | | | | | | | | |
| M4-2 | 0.463 | 1.000 | | | | | | | | | |
| M5-1 | 0.488 | 0.415 | 1.000 | | | | | | | | |
| M5-2 | 0.463 | 0.415 | 0.439 | 1.000 | | | | | | | |
| S1 | 0.220 | 0.317 | 0.268 | 0.317 | 1.000 | | | | | | |
| S2 | 0.293 | 0.220 | 0.317 | 0.220 | 0.366 | 1.000 | | | | | |
| S3 | 0.244 | 0.317 | 0.341 | 0.317 | 0.415 | 0.366 | 1.000 | | | | |
| S5 | 0.366 | 0.341 | 0.317 | 0.293 | 0.415 | 0.317 | 0.341 | 1.000 | | | |
| S6 | 0.293 | 0.317 | 0.244 | 0.268 | 0.268 | 0.317 | 0.244 | 0.268 | 1.000 | | |
| S7 | 0.293 | 0.390 | 0.317 | 0.366 | 0.683 | 0.366 | 0.439 | 0.439 | 0.220 | 1.000 | |
| S10 | 0.220 | 0.244 | 0.195 | 0.268 | 0.341 | 0.268 | 0.512 | 0.244 | 0.146 | 0.341 | 1.000 |

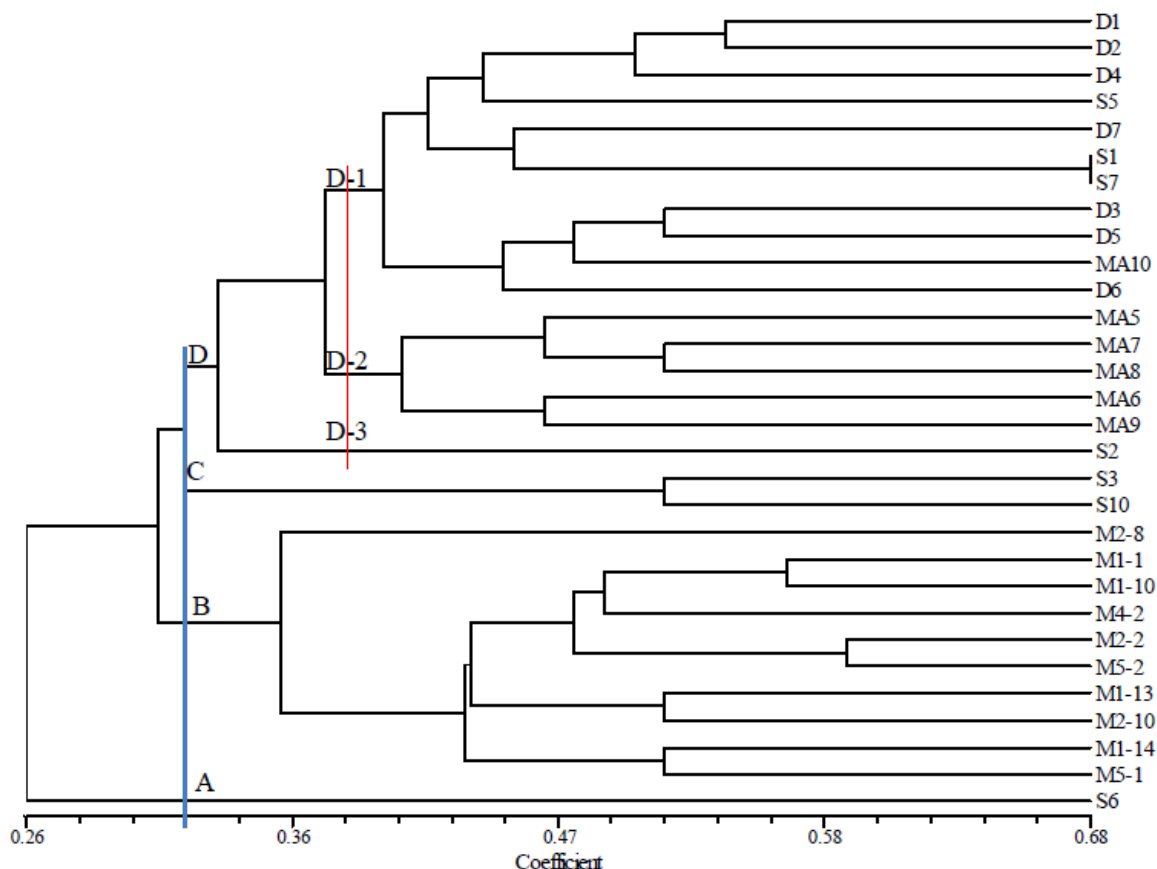
جدول ۴- نتایج صفات مورفولوژیک غالب (معیار ارزیابی بیش از ۵۰ درصد در هر دو گروه) در ژنوتیپ‌های لایم
Table 4- Results of the dominant morphological traits (criteria for the evaluation of more than 50% of both group members) in lime genotypes

| صفات Traits | گروه D | | | |
|--|---------------------------------|-----------------------------------|--------------------|-----------------------------------|
| | گروه A Group A | گروه B Group B | گروه C Group C | گروه D Group D |
| عادت رشدی درخت Tree growth habit | پخش و گسترده Drooping باز | عمودی و افراشته Erect متوسط | N | پخش و گسترده Drooping متوسط |
| زاویه شاخه Branch angle | Wide | Medium | Medium | Medium |
| شکل درخت بالغ Tree shape | پهن Obloid | پهن Obloid | بیضوی Ellipsoid | پهن Obloid |
| رنگ نوک شاخه Shoot tip color | ارغوانی Purple | سبز Green | سبز Green | ارغوانی Purple |
| تراکم تیغ در درخت بالغ Spine density on adult tree | کم Low | N | ندارد Absent | کم Low |
| شکل تیغ Spine shape | راست Straight | راست Straight | ندارد Absent | راست Straight |
| شکل پهنک Leaf lamina shape | واژ تخم‌مرغی Obovate | N | N | تخم‌مرغی Ovate |
| حاشیه پهنک Leaf lamina margin | صاف Entire | مفرد Dentate | صاف Entire | کنگ‌دهار Crenate |
| نوک برگ Leaf apex | گرد Rounded | گرد Rounded | باریک Attenuate | گرد Rounded |
| طول پهنک Leaf lamina length | 244.52 | 85.48 | 90.48 | 61.22 |
| عرض پهنک Leaf lamina width | 196.21 | 47.61 | 44.63 | 35.49 |
| نسبت طول به عرض پهنک Ratio leaf lamina length/width | 1.25 | 1.86 | 2.05 | 1.74 |
| طول دم‌برگ Petiole length | 188.12 | 11.83 | 12.86 | 1.69 |
| وضعیت گوشوارک Petiole condition | متوسط Medium | پیوسته Contiguous | N | متوسط Medium |
| پهنای گوشوارک Petiole wing width | پهن Broad | باریک Narrow | N | باریک Narrow |
| شکل گوشوارک Petiole wing shape | واژ تخم‌مرغی Obovate | باریک و کشیده Linear | M | باریک و کشیده Linear |
| شکل میوه Fruit shape | گروی Spheroid | گروی Spheroid | گروی Spheroid | بیضوی Ellipsoid |
| شکل قاعده میوه Shape of fruit base | می‌سر Truncate | می‌سر Truncate | N | محدب Convex |
| شکل سر میوه Shape of fruit apex | نوک‌تیز Acute | N | مقعر Truncate | پستانکی Mammiform |
| رنگ پوست میوه Fruit skin colour | سبز-زرد Green-yellow | N | N | سبز-زرد Green-yellow |

| | | | | | | | |
|---|-----------------------------------|---------------------|-----------------------------|------------------------|------------------------|----------------------------|------------------------|
| ضخامت پوست در استوای میوه Width of epicarp at equatorial area | 26.1 | 2.79 | 5.56 | 3.15 | 2.74 | 7.8 | 3.31 |
| وزن میوه Fruit weight | 970.4 | 80.95 | 120.48 | 62.24 | 30.94 | 139 | 57.55 |
| طول میوه Fruit length | 155.43 | 56.88 | 60.1 | 55.99 | 41.39 | 74.38 | 52.78 |
| قطر میوه Fruit diameter | 143.99 | 49.68 | 62.28 | 49.64 | 34.07 | 64.32 | 45.92 |
| نسبت طول به قطر میوه Ratio Fruit length/ diameter | 1.08 | 1.17 | 0.97 | 1.13 | 1.21 | 1.16 | 1.15 |
| بافت سطح پوست میوه Fruit surface texture | ناهموار Bumpy | صاف Smooth | زبر Rough | N | زبر Rough | زبر Rough | N |
| چسبندگی آلبیدو به گوشت Adherence of albedo to pulp | قوی Strong | متوسط Medium | متوسط Medium | N | متوسط Medium | قوی Strong | متوسط Medium |
| وضوح غدد ترش‌چی Nature (conspicuousness) of oil glands | واضح Conspicuous | واضح Conspicuous | N | واضح Conspicuous | واضح Conspicuous | واضح Conspicuous | واضح Conspicuous |
| رنگ میابنر (آلبیدو) Albedo colour | سفید White | سفید White | سفید White | سفید White | زرد Yellow | سفید White | سفید White |
| انتهای نزدیک به خامه میوه Fruit stylar end | خامه حاضر است Persistent style | بسته Closed | بسته Closed | بسته Closed | بسته Closed | باز Open | بسته Closed |
| تعداد پره در هر میوه Number of segments per fruit | 15-18 | 10-14 | 10-14 | 10-14 | 5-9 | 10-14 | 10-14 |
| چسبندگی دیواره پرها به یکدیگر Adherence of segment walls to each other | قوی Strong | N | N | متوسط Medium | متوسط Medium | قوی Strong | متوسط Medium |
| محور میوه Fruit axis | جامد Solid | جامد Solid | N | جامد Solid | جامد Solid | نیمه توخالی Semi-hollow | جامد Solid |
| ضخامت دیواره پرها Thickness of segment walls | ضخیم Thick | نازک Thin | N | نازک Thin | نازک Thin | متوسط Medium | نازک Thin |
| رنگ گوشت Pulp (flesh) colour | زرد Yellow | زرد Yellow | نارنجی-قرمز Orange-red | زرد Yellow | زرد Yellow | زرد Yellow | زرد Yellow |
| بافت گوشت Pulp firmness | نرم Soft | نرم Soft | حد وسط Intermediate | حد وسط Intermediate | حد وسط Intermediate | حد وسط Intermediate | حد وسط Intermediate |
| طول کیسه‌های ترش‌چی Vesicle length | بلند Long | بلند Long | کوتاه Short | کوتاه Short | بلند Long | کوتاه Short | کوتاه Short |
| متوسط تعداد بذر در هر میوه Average number of seeds per fruit | 10-19 | 1-4 | 5-9 | 1-4 | 10-19 | 5-9 | N |
| شکل بذر Seed shape | تخم‌مرغی Ovoid | تخم‌مرغی Ovoid | سه گوش نیمه Semi-deltoid | N | مخروطی Fusiform | تخم‌مرغی Ovoid | تخم‌مرغی Ovoid |
| سطح بذر Seed surface | صاف Smooth | صاف Smooth | چروکیده Wrinkled | چروکیده Wrinkled | صاف Smooth | صاف Smooth | چروکیده Wrinkled |
| رنگ بذر Seed colour | کرم Cream | کرم Cream | کرم Cream | کرم Cream | کرم Cream | کرم Cream | کرم Cream |

*هیچ ویژگی 50٪ یا بالاتر نبود.

*No trait was 50% or higher.



شکل ۲- دندروگرام ۳۰ نمونه مرکبات مورد بررسی با استفاده از نشانه‌های مورفولوژیکی. به روش UPGMA (کد نمونه‌ها بر اساس جدول ۱ است)

Figure 2- Dendrogram of 30 citrus samples using morphological markers based on UPGMA (Sample code are based on Table 1)

تنوع موجود در بین نمونه‌های مورد بررسی را باعث می‌گردند. مؤلفه اول که ۲۲/۹۲ در صد از کل تنوع را باعث می‌گردد به طور برجسته‌ای با صفات طول میوه، قطر میوه، ضخامت پوست در استوای میوه، عرض پهنک، طول دمبرگ و وزن میوه ارتباط دارد. مؤلفه دوم که ۱۴/۶۴ در صد کل تفاوت‌ها ایجاد می‌کند نیز با متوسط تعداد بذر در هر میوه، شکل بذر، سطح بذر و رنگ بذر ارتباط بالایی نشان می‌دهد. رنگ پوست میوه، نسبت طول به قطر میوه، رنگ گوشت و بافت گوشت با سومین مؤلفه که ۱۰/۱۱ در صد محاسبه شده است به طور معنی‌داری رابطه دارند. باقی هفت مؤلفه‌های اصلی باقی‌مانده که ۳۴/۳۷ در صد کل تغییرات را نشان می‌دهند با صفاتی مانند وضعیت گوشوارک، شکل میوه، چسبیدگی دیواره پره‌ها به یکدیگر و بافت گوشت در مؤلفه چهارم؛ حاشیه پهنک، نسبت طول به عرض پهنک، انتهای نزدیک به خامه میوه، محور میوه و رنگ گوشت در مؤلفه پنجم؛ تراکم تیغ در درخت بالغ، شکل تیغ، شکل قاعده میوه، بافت سطح پوست میوه، وضوح غدد ترش‌چی و چسبیدگی دیواره پره‌ها به یکدیگر در مؤلفه ششم؛ نسبت طول به عرض پهنک، شکل قاعده

در بررسی خیابوی و همکاران (۱۹) که نمونه‌برداری از همین کلکسیون مورد بررسی صورت گرفته بود در تجزیه کلاستر در ارتباط با نمونه‌های منطقه منوجان مسیر جدا شدن مشابهی دیده می‌گردد. از این گروه‌بندی می‌توان به این نتیجه رسید که اکثر نمونه‌های جمع‌آوری شده از منطقه داراب جز لایم‌ها هستند. در بررسی شهسوار و همکاران (۳۲)، شهسوار و همکاران (۳۱)، جهانگیرزاده خیابوی و همکاران (۱۴)، خیابوی و همکاران (۱۸) و خانکه‌دانی و همکاران (۱۷) نیز مشاهده شد که نمونه‌های منطقه داراب با مکزیکن لایم و پرشین لایم شباهت بالایی نشان می‌دهند.

برای بررسی الگوی تغییرات ویژگی‌های اندازه‌گیری شده و برای پیدا کردن ویژگی‌های تعیین‌کننده جهت تشخیص تفاوت‌ها، آزمون تجزیه به مؤلفه‌های اصلی با استفاده از مشاهدات مورفولوژیکی انجام شد. مقادیر ویژه^۱ محاسبه شده حاصل از آزمون تجزیه به مؤلفه‌های اصلی (PCA) نشان می‌دهند که ۱۰ مؤلفه اول ۸۲/۰۳ در صد کل

1- Eigen value

بذر در هر میوه در مؤلفه دهم دارای رابطه معنی‌داری هستند. بنا بر نتایج آزمون تجزیه به مؤلفه‌های اصلی از ۴۱ صفت موردبررسی ۳۱ صفت به‌صورت معنی‌داری در کل تفاوت مشاهده‌شده در بین نمونه‌های مورد مطالعه نقش دارند. جدول ۵ نتایج آزمون PCA را نشان می‌دهد.

میوه، وضوح غدد ترش‌حی و رنگ میانبر (آلبیدو) در مؤلفه هفتم؛ زاویه شاخه، تراکم تیغ در درخت بالغ، شکل تیغ و بافت سطح پوست میوه در مؤلفه هشتم؛ شکل میوه، نسبت طول به قطر میوه و طول کیسه‌های ترش‌حی در مؤلفه نهم؛ تراکم تیغ در درخت بالغ، حاشیه پهنک، نوک برگ، شکل سر میوه، رنگ میانبر (آلبیدو) و متوسط تعداد

جدول ۵- نتایج تجزیه به مؤلفه‌های اصلی (PCA) با توجه به ویژگی‌های مورفولوژیکی همه نمونه‌های موردبررسی از ژنوتیپ‌های لایم

Table 5- Results of principal component analysis (PCA) according to morphological properties of the studied samples of lime phenotypes

| صفت Traits | مؤلفه Component* | | | | | | | | | |
|--|---------------------|-------|-------|-------------|-------------|--------------|--------------|-------------|-------------|--------------|
| | 1 | 2 | 3 | 4 | 5 | 6 | 7 | 8 | 9 | 10 |
| عادت رشدی درخت Tree growth habit | -0.04 | 0.23 | 0.17 | 0.25 | -0.02 | 0.08 | -0.02 | -0.04 | 0.19 | -0.21 |
| زاویه شاخه Branch angle | 0.13 | -0.09 | 0.06 | -0.09 | -0.15 | 0.02 | 0.25 | 0.45 | 0.04 | -0.21 |
| شکل درخت بالغ Tree shape | 0.11 | -0.11 | -0.23 | 0.16 | -0.02 | 0.02 | -0.16 | -0.11 | -0.19 | -0.06 |
| رنگ نوک شاخه Shoot tip color | 0.20 | 0.09 | -0.12 | -0.10 | 0.03 | -0.02 | -0.17 | -0.20 | 0.20 | 0.08 |
| تراکم تیغ در درخت بالغ Spine density on adult tree | -0.06 | 0.12 | -0.10 | 0.14 | -0.03 | 0.33 | -0.14 | 0.40 | -0.09 | 0.30 |
| شکل تیغ Spine shape | 0.04 | 0.19 | -0.20 | 0.07 | -0.08 | 0.33 | -0.02 | 0.34 | 0.12 | -0.08 |
| شکل پهنک Leaf lamina shape | 0.09 | -0.20 | 0.15 | 0.14 | -0.20 | -0.03 | -0.16 | 0.16 | -0.18 | -0.02 |
| حاشیه پهنک Leaf lamina margin | 0.08 | -0.03 | -0.13 | -0.15 | 0.38 | 0.06 | 0.09 | -0.14 | -0.06 | 0.31 |
| نوک برگ Leaf apex | 0.09 | -0.18 | -0.25 | 0.02 | -0.22 | -0.05 | -0.15 | -0.03 | 0.13 | -0.36 |
| طول پهنک Leaf lamina length | 0.26 | 0.10 | -0.13 | -0.09 | 0.07 | -0.09 | 0.00 | 0.06 | 0.25 | 0.07 |
| عرض پهنک Leaf lamina width | 0.30 | 0.10 | -0.07 | -0.01 | -0.04 | -0.06 | -0.03 | 0.00 | 0.10 | 0.06 |
| نسبت طول به عرض پهنک Ratio leaf lamina length/width | -0.11 | 0.03 | -0.13 | -0.22 | 0.28 | -0.01 | 0.28 | 0.24 | 0.16 | 0.00 |
| طول دم‌برگ Petiole length | 0.28 | 0.16 | -0.03 | 0.00 | -0.07 | 0.01 | 0.11 | 0.02 | -0.11 | -0.04 |
| وضعیت گوشوارک Petiole condition | -0.02 | 0.17 | 0.09 | 0.33 | 0.04 | 0.04 | 0.23 | -0.02 | -0.14 | -0.11 |
| پهنای گوشوارک Petiole wing width | 0.26 | 0.16 | 0.03 | -0.03 | -0.01 | -0.07 | 0.17 | 0.01 | -0.12 | -0.03 |
| شکل گوشوارک Petiole wing shape | -0.08 | -0.15 | -0.22 | 0.10 | -0.05 | -0.16 | 0.05 | 0.10 | -0.09 | 0.11 |
| شکل میوه Fruit shape | 0.06 | -0.20 | -0.03 | 0.35 | 0.21 | 0.13 | -0.05 | 0.00 | 0.28 | 0.00 |
| شکل قاعده میوه Shape of fruit base | 0.07 | -0.06 | -0.12 | -0.25 | -0.10 | -0.38 | -0.29 | 0.23 | 0.05 | -0.04 |
| شکل سر میوه Shape of fruit apex | 0.02 | -0.16 | 0.05 | -0.19 | 0.17 | 0.25 | 0.16 | -0.05 | -0.23 | -0.44 |

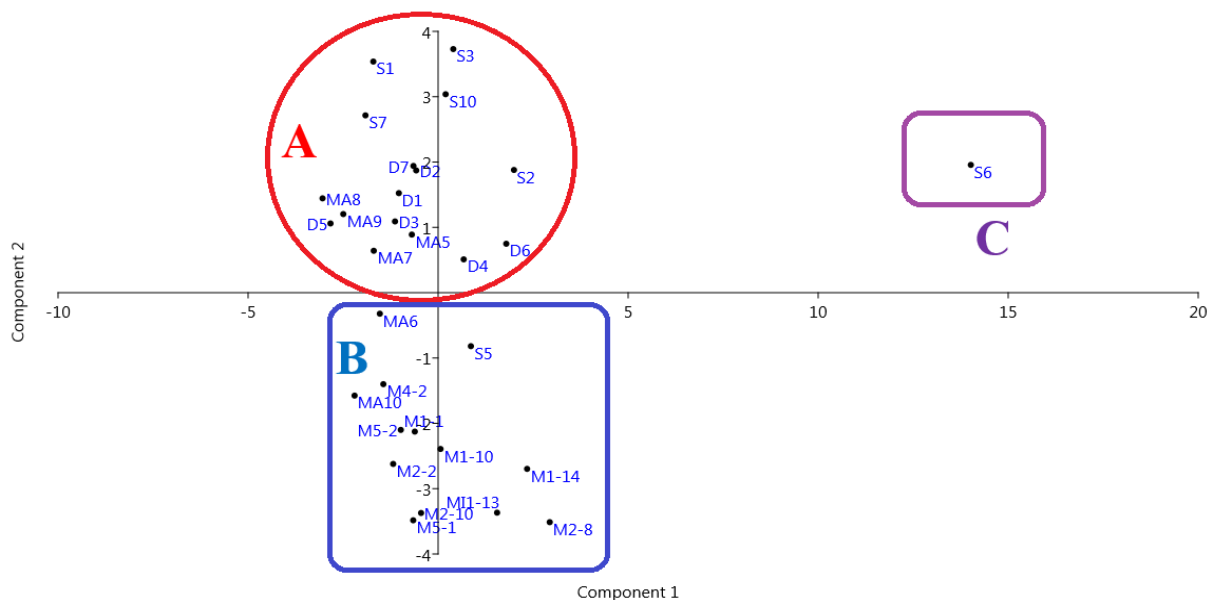
| | | | | | | | | | | |
|---|-------------|--------------|--------------|--------------|--------------|--------------|--------------|-------------|--------------|-------------|
| رنگ پوست میوه Fruit skin colour | 0.08 | -0.19 | 0.28 | -0.14 | 0.21 | -0.15 | -0.09 | 0.01 | 0.12 | -0.02 |
| ضخامت پوست در استوای میوه Width of epicarp at equatorial area | 0.30 | 0.10 | 0.05 | 0.04 | 0.02 | -0.04 | 0.05 | 0.05 | 0.07 | 0.03 |
| وزن میوه Fruit weight | 0.31 | 0.09 | 0.00 | 0.01 | 0.02 | -0.03 | 0.07 | 0.00 | -0.06 | 0.00 |
| طول میوه Fruit length | 0.30 | 0.03 | -0.04 | 0.07 | 0.13 | 0.00 | -0.03 | 0.05 | 0.05 | -0.05 |
| قطر میوه Fruit diameter | 0.31 | -0.01 | 0.08 | 0.04 | 0.10 | -0.02 | -0.02 | 0.06 | -0.07 | -0.02 |
| نسبت طول به قطر میوه Ratio fruit length/ diameter | -0.03 | 0.08 | -0.34 | 0.11 | 0.07 | 0.09 | 0.07 | -0.07 | 0.42 | -0.08 |
| بافت سطح پوست میوه Fruit surface texture | 0.09 | -0.05 | 0.13 | 0.17 | -0.09 | -0.31 | 0.03 | 0.33 | -0.08 | 0.15 |
| چسبندگی آلبیدو به گوشت Adherence of albedo to pulp | 0.05 | 0.24 | 0.17 | -0.09 | -0.19 | 0.20 | -0.12 | -0.13 | 0.00 | -0.04 |
| وضوح غدد ترش‌چی Nature (conspicuousness) of oil glands | 0.07 | -0.03 | 0.01 | -0.02 | 0.01 | 0.36 | -0.44 | -0.03 | -0.16 | 0.13 |
| رنگ میانبر (آلبیدو) Albedo colour | -0.05 | 0.07 | 0.05 | -0.04 | -0.25 | 0.01 | 0.27 | -0.15 | -0.03 | 0.28 |
| انتهای نزدیک به خامه میوه Fruit styler end | 0.13 | 0.14 | -0.10 | 0.05 | -0.29 | -0.04 | 0.22 | -0.24 | 0.04 | -0.05 |
| تعداد پره در هر میوه Number of segments per fruit | 0.20 | 0.06 | 0.14 | -0.04 | 0.14 | 0.16 | -0.20 | 0.08 | -0.03 | 0.01 |
| چسبندگی دیواره پرها به یکدیگر Adherence of segment walls to each other | 0.08 | -0.02 | 0.14 | -0.34 | -0.06 | 0.32 | 0.20 | 0.10 | 0.02 | 0.07 |
| محور میوه Fruit axis | 0.00 | -0.02 | -0.11 | 0.25 | 0.42 | -0.08 | 0.03 | 0.08 | -0.17 | -0.04 |
| ضخامت دیواره پرها Thickness of segment walls | 0.21 | 0.02 | 0.09 | 0.09 | 0.02 | -0.04 | -0.03 | -0.21 | -0.17 | -0.05 |
| رنگ گوشت Pulp (flesh) colour | -0.03 | 0.14 | 0.35 | -0.03 | 0.27 | -0.12 | -0.05 | 0.01 | 0.06 | -0.05 |
| بافت گوشت Pulp firmness | -0.13 | 0.18 | 0.27 | 0.27 | 0.04 | -0.05 | -0.04 | 0.07 | 0.16 | -0.17 |
| طول کیسه‌های ترش‌چی Vesicle length | 0.11 | -0.13 | -0.23 | 0.19 | 0.06 | 0.04 | 0.23 | -0.01 | -0.31 | 0.03 |
| متوسط تعداد بذر در هر میوه Average number of seeds per fruit | -0.06 | 0.29 | 0.04 | 0.11 | -0.01 | -0.15 | 0.02 | 0.03 | 0.00 | 0.32 |
| شکل بذر Seed shape | 0.11 | -0.32 | 0.16 | 0.11 | -0.07 | 0.10 | 0.10 | -0.05 | 0.19 | 0.14 |
| سطح بذر Seed surface | 0.10 | -0.32 | 0.16 | 0.11 | -0.08 | 0.11 | 0.11 | -0.04 | 0.19 | 0.16 |
| رنگ بذر Seed colour | 0.10 | -0.32 | 0.15 | 0.11 | -0.08 | 0.11 | 0.11 | -0.04 | 0.18 | 0.16 |
| مقادیر ویژه Eigen value | 9.40 | 6.00 | 4.14 | 3.05 | 2.70 | 2.16 | 1.86 | 1.67 | 1.42 | 1.22 |
| واریانس Variance (%) | 22.92 | 14.64 | 10.11 | 7.45 | 6.60 | 5.28 | 4.53 | 4.08 | 3.46 | 2.98 |
| در صد تجمعی Cumulative (%) | 22.92 | 37.55 | 47.66 | 55.11 | 61.70 | 66.98 | 71.51 | 75.59 | 79.05 | 82.03 |

* اعداد برجسته دارای اثر بیشتری در عامل‌ها می‌باشند.

شامل نمونه‌های باقی‌مانده بود، نکته قابل اشاره این بود که دو نمونه لایم استاندارد مورد بررسی به همراه ژنوتیپ‌های جمع‌آوری شده تحت عنوان لیمو بافاصله کم از یکدیگر قرار گرفتند که این امر نشان از این است که اکثر نمونه‌های مورد بررسی جزو گروه لایم‌ها می‌باشند خصوصاً آنکه نمونه لمون (S2)، لیمو لیسبون) بافاصله از نمونه‌های دیگر این گروه قرار گرفته است. قرارگیری رقم شاهد بالنگ (S10) و پرتقال (S3) در این گروه به رابطه ژنتیک این ارقام به بازمی‌گردد که نتایج مشابهی در تجزیه بای‌پلات خیاوی و همکاران (۱۹) مشاهده می‌گردد. شکل ۳ نمودار بای‌پلات حاصل از داده‌های مورفولوژیکی را نشان می‌دهد.

به‌طور کلی با توجه با کلیه نتایج به‌دست‌آمده و مطالعه مسیر فیلوژنتیکی اکسیشن‌های بومی ایران و هفت رقم، نتیجه‌گیری می‌گردد که اکسیشن‌های بومی ایران دارای بالاترین تشابه با رقم مکزیکن لایم و کمترین تشابه با رقم سلطان مرکبات می‌باشند، و همچنین از مقایسه رابطه کل نمونه‌های بررسی شده می‌توان بیان کرد که جهت انجام برنامه‌های اصلاحی خصوصاً در جهت به دست آوردن لایم‌هایی که نسبت به بیماری جاروک لیموترش مقاوم باشند می‌توان از تلاقی مابین لمون‌ها و سایر درختان مجموعه مرکبات استفاده نمود.

نقشه بای‌پلات (D plot) حاصل از PCA سه گروه را نشان داد (شکل ۳). این گروه‌بندی تقریباً شبیه به الگوی خوشه‌بندی دندروگرام حاصل از ضریب تشابه ساده و الگوریتم UPGMA بود. در نقشه بای‌پلات، مشابه تجزیه کلاستر نمونه سلطان مرکبات (S6) به‌تنهایی در فاصله زیادی از نمونه‌های لیمو قرار گرفت (گروه C). در مطالعات خانکه‌دانی و همکاران (۱۷) چه در بررسی مورفولوژی و چه در بررسی مولکولی (ISSR) جدا شدن سلطان مرکبات دیده می‌گردد. تمام ده ژنوتیپ مورد بررسی از منطقه میناب همراه با دو ژنوتیپ MA6 و MA10 از منوجان در کنار رقم راف لمون (S5) قرار گرفتند (گروه B) که با مراجعه به کلاستر حاصل از همین داده‌ها نیز مشاهده می‌گردد که نمونه‌های منطقه میناب گروه خاص خود را تشکیل داده‌اند که در مطالعه خیاوی و همکاران (۱۹) نیز در تجزیه بای‌پلات مشاهده می‌گردد نمونه‌های منطقه میناب گروه خاص خود را دارند. در مطالعه راهب و همکاران (۲۶) نیز نمونه‌های منطقه میناب گروه خاص خود را تشکیل داده‌اند. این نمونه‌ها در ماتریس تشابه دامنه‌ای مابین ۰/۱۴۹ (دو نمونه MA6 و M2-8) و ۰/۵۸۵ (دو نمونه M2-2 و M5-2) با متوسط ۰/۴۹۴ بودند که این موضوع اشاره به رابطه ژنتیکی آنها دارد. در ارتباط با گروه دیگر تشکیل شده (گروه A) در تجزیه بای‌پلات که



شکل ۳- نمودار بای‌پلات بر اساس ویژگی‌های مورفولوژیکی ۳۰ نمونه مرکبات و رقم انتخاب شده از مناطق مختلف ایران (کد نمونه‌ها بر اساس جدول ۱ است)

Figure 3- Generated D-plot based morphological characteristics of 30 of citrus samples and cultivars collected from different region of Iran (Sample code are based on Table 1)

نتیجه‌گیری

یکی از راه‌های دست‌یابی به این ارقام متحمل انجام دورگ‌گیری مابین اکسیشن‌های تحت کشت که سازگاری با منطقه دارند با گیاهان متحمل به این مشکل است. همچنین در انجام تلاقی بایستی موضوع هدم ایجاد ضعف ژنی را مدنظر قرارداد که راه جلوگیری از این موضوع انجام تلاقی مابین نمونه‌های بافاصله ژنتیکی است لذا از نتایج این تحقیق می‌توان به این موضوع رسید که از آنجایی که اکثر نمونه‌های موردبررسی با نمونه استاندارد مکزیکن لایم رابطه نزدیکی دارند لذا مناسب از آنها برای تلاقی با یکدیگر استفاده نمود بلکه اقدام به تلاقی با لمون‌ها یا مرکبات دیگر نمود.

نتایج به‌دست‌آمده از این پژوهش نشان داد که با استفاده از نشانه‌های مورفولوژیکی می‌توان اقدام به بررسی تنوع و طبقه‌بندی ژنوتیپ‌های لیمو (لایم) نمود. دامنه تشابه بین نمونه‌های تقریباً وسیع و متوسط تشابه ۰/۳۸۸ است. نتایج به‌دست‌آمده در تجزیه کلاستر و تجزیه بای‌پلات در آنالیز مورفولوژی تشابه بالایی دارند و نمونه‌ها را در تجزیه کلاستر در ۴ گروه با اختلافات درون‌گروهی حداقل و بین‌گروهی حداکثر در سطح تشابه ۰/۳۲ قرار گرفتند. امروزه یکی از مشکلات موجود در باغات لیمو در جنوب ایران بیماری جاروک است که یکی از راه‌های مبارزه با این مشکل استفاده از ارقام متحمل است.

منابع

- 1- Abedinpour H., Ranjbar Gh.A., Babaein Jelodar N.A., and Golein B. 2014. Evaluation of genetic diversity in citrus genotypes by IRAP molecular marker. International Journal of Farming and Allied Sciences 3: 230-234.
- 2- Al-Anbari A., Kanawapee N., Al-Kazragi T.A., Al-Jewari H., Al.Mashhadani A., Barusrux S., Pornpongrungrueng P., and Theerakulpisut P. 2014. Genetic diversity of *citrus* (Rutaceae) in Iraq based on random amplified polymorphic DNA (RAPD) markers, African Journal of Agricultural Research 9(11): 1112-1019.
- 3- Barreclough H.C., and Rhodes A.M. 1976. A numerical taxonomic study of affinity relationships in cultivated Citrus and its close relatives. Systematic Botany 1: 105-136.
- 4- Campos E.T., Espinosa M.A.G., Warburton M.L., Varela A.S., and Monter A.V. 2005. Characterization of Mandarin (*Citrus* spp.) using morphological and AFLP markers. Interciencia 30(11): 687-693.
- 5- Cooper W.C., Reece P.C., and Furr J.R. 1962. Citrus breeding in Florida-past, present and future. Florida State Horticultural Society 75: 5-13.
- 6- Davies F.S., and Albrigo L.G. 1994. Taxonomy cultivars and breedin, In: Davis, F.S., and Albrigo, L.G. (Eds) Citrus, Wallingford, CAB Internationa.
- 7- Dorji K., and Yapwattanaphun Ch. 2011. Morphological identification of mandarin (*Citrus reticulata* Blanco) in Bhutan. Kasetsart Journal (Natural Science) 45: 793-802.
- 8- Fatahi R., Ebadi A., Vezvaei A., Zamani Z., and Ghanadha M.R. 2004. Relationship among quantitative and qualitative characters in 90 grapevine (*Vitis vinifera*) cultivars. P.275-282. In XXVI International Horticultural Congress: Viticulture-Living with Limitations 640, 31 August 2004. International Society for Horticultural Science, Toronto, Canada.
- 9- Ferguson A.R. 2006. The need for characterisation and evaluation of germplasm: kiwifruit as an example. Euphytica 154: 371-382
- 10- Fotohi ghazvini R., and Fatahi Moghadam J. 2010. Citrus cultivation in Iran, Guilan University, Rast. (In Persian)
- 11- Gulsen O., and Roose M.L. 2001a. Lemons: diversity and relationships with selected *Citrus* genotypes as measured with nuclear genome markers. American Society for Horticultural Science 126(3): 309-317.
- 12- Gulsen O., and Roose M.L. 2001b, Chloroplast and Nuclear Genome Analysis of the Parentage of Lemons, American Society for Horticultural Science 126(2): 210-215.
- 13- IPGRI. 2000. Descriptores para los citricos Citrus spp. Instituto Nacional de Recursos Fitogeneticos, Roma, 75
- 14- Jahangirzadeh Khiavi Sh., Hamidoghli Y., Golein B., and Sabouri A. 2016. Study of genetic diversity of some Iranian acid lime (*Citrus aurantifolia* Swingle) genotypes using AFLP marker, Journal of Plant Production Research 23(3): 81-96. (In Persian with English abstract)
- 15- Johnson R.A., and Wichern D.W. 2002. Applied multivariate statistical analysis. Upper Saddle River, New Jersey Prentice hall.
- 16- Karp A., Kresovich S., Bhat K.V., Ayad W.G., and Hodgkin T. 1997. Molecular tools in plant genetic resources conservation: a guide to the technologies. IPGRI Technical Bulletin No. 2. International Plant Genetic Resources Institute, Rome, Italy.
- 17- Khankahdani H.H., Rastegar S., Golein B., Golmohammadi M., and Jahromi A.A. 2017. Genetic diversity in Persian lime (*Citrus latifolia* Tanaka) accessions using morphological and molecular markers. Poljoprivreda i Sumarstvo 63(3): 221-231.
- 18- Khiavi S.J., Hamidoghli Y., Golein B., and Sabouri A. 2015. Evaluation of genetic diversity in acid lime ('Citrus

- aurantifolia'swingle) genotypes using AFLP markers. Australian Journal of Crop Science 9(10): 996-1002.
- 19- Khiavi S.J., Hamidoghli Y., Golein B., and Sabouri A. 2016. Assessment of lime genetic diversity in three regions of Iran using morphological and ISSR markers. Agricultural Communications 4(3): 18-29.
 - 20- Koehler-Santos P., Dornelles A.L.C., and Freitas L.B. 2003. Characterization of mandarin citrus germplasm from southern Brazil by morphological and molecular analyze. Pesquisa Agropecuária Brasileira 38: 797-806.
 - 21- Kumar S., Jena S.N., and Nair N.K. 2010. ISSR polymorphism in Indian wild orange (*Citrus indica* Tanaka, Rutaceae) and related wild species in North-east India. Scientia Horticulturae 123: 350-359.
 - 22- Malik S.K., Rohini M.R., Kumar S., Choudhary R., Pal D., and Chaudhury R. 2012. Assessment of Genetic Diversity in Sweet Orange [*Citrus sinensis* (L.) Osbeck] Cultivars of India Using Morphological and RAPD Markers. Agricultural Research 1(4): 317-324.
 - 23- Naghavi M.R., Ghareyazie B., and Hosseini Salekdeh Gh. 1388. Molecular Markers. University of Tehran press, Tehran.
 - 24- Nei M. 1973. Analysis of gene diversity in subdivided populations. Proceedings of the National Academy of Sciences 70(12): 3321-3323.
 - 25- Pal D., Malik S.K., Kumar S., Choudhury R., Sharma K.C., and Chaudhury R. 2013. Genetic Variability and Relationship Studies of Mandarin (*Citrus reticulata* Blanco) Using Morphological and Molecular Markers. Agricultural Research 2(3): 236-245
 - 26- Raheb S., Ghasemnezhad M., Golein B., Golmohammadi M., and Sabouri A. 2018, Variability analysis of lime (*Citrus* sp.) genotypes using morphological markers in the south of Iran. Journal of Research in Ecology 6(1): 1400-1411
 - 27- Rajapakse S., Belthoff, L.E., He G., Estager A.E., Scorza R., Verde I., Ballard R.E., Baird W.V., Callahan A., Monet R., and Abbott A.G. 1995. Genetic linkage mapping in peach using morphological, RFLP and RAPD markers. Theoretical and Applied Genetics 90(3-4): 503-510.
 - 28- Roose M.L., and Close T.J. 2008. Genomics of Citrus, a Major Fruit Crop of Tropical and Subtropical Regions. p. 187-201. In: Moore P.H., Ming R. (eds) Genomics of Tropical Crop Plants. Plant Genetics and Genomics: Crops and Models, vol 1. Springer, New York, NY.
 - 29- Şahin-Cevik M., and Moore G.A. 2012. Quantitative trait loci analysis of morphological traits in Citrus. Plant Biotechnology Reports 6: 47-57.
 - 30- Salimpour A., Ebadi A., Moghaddam M.F., and Bihamta M. 2012. An evaluation of genetic diversity in some almond genotypes using morphological traits. Iranian Journal of Horticultural Science 42(4): 319-327. (In Persian with English abstract)
 - 31- Shahsavari A.R., Izadpanah K., Tafazoli E., and Seyed Tabatabaei B.E. 2007, Characterization citrus including unknown variants by inter-simple sequence repeat (ISSR) markers, Scientia Horticulturae 112: 310-314.
 - 32- Shahsavari A., Izadpanah K., Tafazoli E., and Seyed Tabatabaei B.E. 2005. Evaluation of genetic variability of limes and lemons in the Fars province by morphological traits and inter-simple sequence repeat (ISSR) markers. Iranian Journal of Horticultural Science and Technology 5(4): 177-188. (In Persian with English abstract)
 - 33- Smith J.S.C., and Smith O.S. 1989. The description and assessment of distances between inbred lines of maize: the utility of morphological, biochemical and genetic descriptors and a scheme for the testing of distinctiveness between inbred lines. Maydica 46: 190-193.
 - 34- Soost R.K., and Roose M.L. 1996. Citrus. p. X. In Okie W.R., and Weinberger J.H. (ed.) Fruit Breeding, Tree and Tropical Fruit. John Wiley and Sons.
 - 35- Zandkarimi H., Talaie A., Fatahi R., and da Silva J.A.T. 2011. Evaluation of Some Lime and Lemon Accessions by using Morphological Characterization in Hormozgan Province (Iran). Fresh Produce 5(1): 69-76.



Morphological Markers as a Tool for Investigating Genetic Diversity of Some Lime Genotypes

Sh. Jahangirzadeh Khiavi^{1*}- B. Golein²

Received: 15-04-2020

Accepted: 03-10-2020

Introduction: Citrus fruits are the most common semi-tropical crops in the world. Acid lime (*Citrus aurantifolia* Swingle) is an important commercial fruit crop, cultivated in the south of Iran. High variation of acid lime fruits is observed in the south of Iran due to crossing within the other citrus species and frequent bud mutation. Recently, Witch's Broom Disease of Lime (WBDL) become a major limiting factor for lime production in the South of Iran as well as the main threatening factor for lime industry in Iran. Having knowledge about the genetic of this plant is helpful for designing citrus breeding program. Therefore, in this research morphological traits were used to understand the genetic relationships and diversity of this gene pool.

Materials and Methods: Thirty citrus samples, including 23 undefined local and native genotypes and seven known cultivars were collected from four regions in Iran (Darab (54.53E, 28.75N), Manojan (57.49E, 27.40N), Minab (57.07E, 27.14N) and Ramsar (50.64E, 36.92N)). Forty-one (32 qualitative and nine quantitative) traits were investigated using leaves, fruits and seeds. The selection of morphological traits were made based on IPGRI descriptors. The similarity was calculated by simple matching coefficient and dendrogram was designed based on UPGMA algorithms. Principal components analysis was performed.

Results and Discussion: Genetic diversity of 23 lime genotypes and seven commercial cultivars were investigated by using 41 morphological characters. Based on gained data similarity matrix (Jaccard, Dice and Simple matching) were calculated and dendrogram based on UPGMA algorithms were designed. To finding better similarity coefficient, cophenetic test was done, it showed that if used SM coefficient 79 percent of data of similarity matrix was shown in designed cluster based on UPGMA algorithm. According to results, range of similarity was between 0.141 until 0.683. Maximum similarity was observed between two lime cultivars (Persian lime and Mexican lime). Average of similarity was calculated 0.39. In cluster analyses of studied samples at 32 level of similarity samples were divided into four main groups. First group has only one member and it was pomelo, as it is one of the ancestors of citrus fruits, this is quite acceptable. The notable point for second main group that it included all examined samples of Minab. As in this region most of cultivated citrus are lime, there is little gene mixing with other citrus. The third group consist of two cultivars sweet orange and Citron that intended in present investigation. Fourth group which was the biggest created groups that included more than half the samples (56%) was more complex because it consists of samples of limes and lemons that intended in investigation as control and samples of Darab and Manojan. This main group at level of 0.38 divided into three sub-groups, at first, Lisbon lemon was separated from other samples and next Manojan samples created their special sub-group and finally third sub-group which consist of 11 members (samples of Darab, MA6 from Manojan and three commercial cultivars, Persian lime, Mexican lime and Rough lemon). Principle Component Analysis (PCA) showed the first five principal components, which contributed 59.01% of the total variability of investigated samples. Maximum variability was contributed by the first component (22.77%) followed by the second component (12.54%), and the third component (9.85%). A two-dimensional plot (2D plot) generated from PCA showed three groups. This grouping was roughly in line with the distribution of the samples in the resulting cluster analysis based on SM coefficient and UPGMA algorithm. Principle Component Analysis using 41 descriptors showed that 26 of 41 descriptors were informative and contributes significantly to the variation present in the germplasm.

Conclusion: This study described and estimated the extent of phenotypic variation present among the samples of limes from Iran germplasm. Morphological analyses among 23 genotypes and seven commercial cultivars from four regions of Iran were successfully used to calculate genetic diversity and genetic relationships.

1- Assistant Professor, Tea Research Center, Horticultural Sciences Research Institute, Agricultural Research, Education and Extension Organization (AREEO), Lahijan, Iran

(*- Corresponding Author Email: shjahangirzadeh@gmail.com)

2- Associate Professor, Citrus and Subtropical Fruits Research Center, Horticultural Sciences Research Institute, Agricultural Research, Education and Extension Organization (AREEO), Ramsar, Iran

DOI: 10.22067/jhorts4.v34i4.85292

According to our results, it was confirmed that morphological analyses in limes and other *Citrus* species were exploit to determine genetic diversity and relationship, successfully. Characterization by using morphological descriptors based on 41 characters, revealed significant diversity in traits of leaf, fruit and seed. This investigation display the use of morphological characters to study genetic diversity of Iranian lime genotypes from four different regions that their relationships were somewhat clarified. The results of this study also opened a door to tackle the long standing problem of citrus classification and identification in Iran. But, we suggest that this type of study needs to be continued due to Iran has a very large and numerous citrus germplasm. In south and central regions of Iran, it is being propagated by seed which gives researchers a chance to find new genotypes that need to be classified, investigated and introduced as a new cultivar.

Keywords: Citrus, Descriptor, Phylogenic relationship, Morphological character